

FPGA를 이용한 Digital IF Up/Down 변환기 설계

이용철* · 오창현*

*한국기술교육대학교

Design of Digital IF Up/Down Converter Using FPGA

Yong-chul Lee* · Chang-heon Oh*

* Korea University of Technology and Education

요약

본 논문에서는 SDR(Software Defined Radio) 시스템을 위한 Digital IF(Intermediate Frequency) Up/Down 변환기를 설계하고 성능을 평가하였다. 설계한 시스템은 AD 변환부, DA 변환부 및 Up-Down conversion 기능을 수행하는 FPGA로 구성된다. AD 변환부는 Analog Device 사의 AD6645를 사용하였으며, DA 변환부는 Analog Device 사의 AD9775를 사용하였다. Up-Down conversion 기능을 수행하는 FPGA부는 샘플된 IF 입력을 혼합기와 NCO에 의해 기저대역(DC)으로 다운 시키는 역할을 하며, 14bit의 기저대역(DC) 신호를 혼합기와 NCO에 의해 IF 출력으로 올려주는 역할을 한다. 이러한 설계는 기존의 아날로그 헤테로다인 방식에 비하여 높은 유연성 및 우수한 성능 향상을 보여준다.

키워드

Digital IF, SDR, Up/Down 변환기, AD변환기, DA변환기, FPGA

I. 서 론

최근 다양한 주파수 대역과 통신기술이 발전하고 단일한 통신 방식이 아닌 다중 모드, 다중 표준을 지원하는 차세대 이동통신 방식인 SDR 시스템이 요구되고 있다. SDR이란 하드웨어의 수정 없이 모듈화 된 소프트웨어의 변경만으로 단일의 Up/Down 변환기를 통해 다수의 무선통신규격을 통합 수용하는 무선 인터페이스 기술이다. SDR 시스템은 고성능 DSP, 광대역 ADC 및 DAC 등을 사용하며, 기저대역에서 신호를 IF 대역으로 최대한 천이시켜 유연한 시스템을 구성한다. 기존의 시스템과 새로운 규격의 출현에 따른 차세대 시스템 모두에 적용 가능한 경제적이며, 효율적인 시스템이며, 로밍이 가능할 수 있게 한다. 또한 시변 채널 상황에 따른 적응적인 번조 및 수신 방식을 선택할 수 있는 적응력을 가지고 있어 향후 규격의 변경에 따른 단말기 재구입 혹은 업그레이드가 불필요할 수 있을 것이다. SDR 시스템의 하드웨어 구성은 RF(Radio Frequency)처리부, AD(Analog to Digital) / DA(Digital to Analog) 변환부, 디지털 IF 처리부, 디지털 기저대역 처리부로 나눌 수 있다.

본 논문에서는 SDR 시스템을 위한 디지털 IF Up/Down 변환기를 구현해 보았다. 디지털 IF는

IF대역과 기저대역 간의 상호변환을 디지털 신호 처리로 수행하고 이동통신 시스템의 기저국 및 단말기의 저비용과 유연성이 가미된 효율적 개발이 가능하여 보다 정밀한 신호 분리 및 처리를 할 수 있다.

본 논문의 구성은 I 장 서론에 이어 II장에서 보드의 전체적인 구성 및 AD 변환부, DA 변환부, FPGA부의 동작에 대해 설명을 하고, III장에서는 구현한 보드를 실험을 통해 평가한다. 끝으로 IV장에서는 본 논문의 결론을 맺는다.

II. 시스템 구성 및 설계

현재 운용되고 있는 시스템은 그림1과 같은 슈퍼헤테로다인 Up/Down 변환기 시스템에서 사용되는 트랜시버 구조를 가지고 있다. 이 구조는 통신 표준에 따라 각각의 채널대역폭과 반송주파수에 적합한 여러 아날로그 소자가 필요하며, 이로부터 야기되어지는 여러 문제들이 발생된다. 가장 큰 문제점은 협대역상에서 사용되는 수동소자를 광대역에서 사용할 경우 특성이 크게 손실되어 광대역 필터로의 구현이 어렵다는 것이다. 한마디로 극히 제한적인 대역의 수동필터를 이용

하여, 그 특성을 기대할 수밖에 없었다.

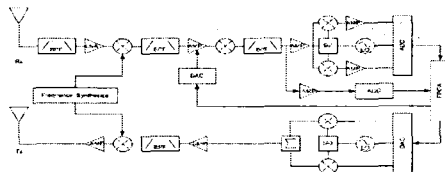


그림 1. 슈퍼헤트로다인 방식의 Transceiver

반면 SDR의 개념을 도입한 Up/Down 변환기 시스템의 구현은 수동소자의 수를 감소시킴으로서 저비용, 저전력 소규모 시스템과 모뎀, equalizer, channel codec, synchronization 등과 같은 시스템 각 부의 기능들을 프로그램으로 대체하여, 접속을 가능하게 하는 유연성을 가진다 [1].

1. AD (Analog to Digital) 변환부

RF 수신기의 궁극적인 목적은 수신 안테나의 출력인 RF 신호를 직접 디지털화 함으로 모든 수신기의 기능들이 하드웨어나 소프트웨어에 의하여 동작되도록 하는 것이다. AD변환기는 이러한 RF 수신기의 중요한 구성요소이며, AD변환기는 RF나 IF에서 광대역 디지털화를 위해 사용된다.

본 논문에서 설계한 보드에서는 Analog Device사의 AD6645를 사용하였다. 그림 2는 AD6645의 내부 블록을 나타낸 것으로 80Msps의 sampling rate의 고속 동작을 한다. 수신시에 입력되는 Analog 신호에 대해서 14 bit의 digital 데이터로 변환, 모든 bit를 복원하여 구현하였으나, LSB상의 데이터가 노이즈 영역에 균접하여, 전혀 새로운 데이터로 변경하여 복원하게 되어, 신호의 왜곡현상과 잡음이 발생하여, 정상적인 복구가 이루어지지 않았다. 따라서 이번에 새로 구성된 보드에서는 LSB의 2 bit를 제거하여 12bit만을 데이터 변환을 수행하였다[2].

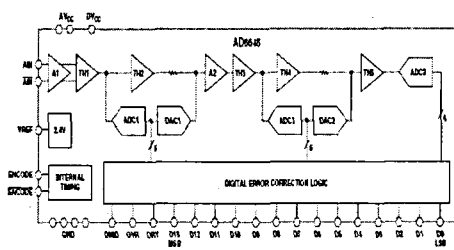


그림 2. AD6645의 내부 블록도

2. DA (Digital to Analog) 변환부

기저대역의 신호가 IF대역의 신호로 변환된 디지털 신호를 RF 신호로의 입력 전단까지의 아날로그 신호로 변화해주는 기능을 수행하는 부분이다. 이 부분은 Analog Device의 AD9775을 사용

하여 구현하였으며, 160Msps의 sampling rate를 가진다. 디지털 신호를 아날로그 신호로 변환할 때 DA변환기에서는 system clock의 간격으로 연속적인 이미지 신호들이 나타나게 되는데 이러한 불필요한 다른 주파수 대역의 간섭과 이미지 신호를 제거하기 위하여, 일반적으로 DA변환기의 뒷단에 LPF(Low Pass Filter)를 구성하게 된다.

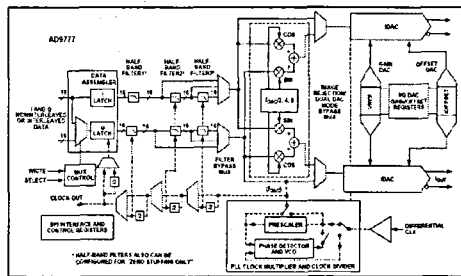


그림 3. AD9775의 내부 블록도

3. Up-Down 기능을 수행하는 FPGA부

FPGA(Field Programmable Gate Array)부는 제조 후에도 프로그램을 재정의 할 수 있는, 프로그래머블한 장치의 상호연결과 로직기능을 가진 하나의 gate array이다. 기존의 시스템에서는 시스템 구현 시 발생되는 문제점을 극복하기 위하여, 외부의 GC5016이라는 Up/Down 변환기를 장착하여 구성하였다[3]. 그러나 본 논문에서는 FPGA를 이용하여 실질적으로 데이터를 흐름과 신호의 생성과 처리 동작을 수행하는 부분을 up-down conversion 부분과 동일 블록을 수행하여, 신호의 흐름에 따른 손실을 최소화하여 구성하였다. FPGA를 이용하여 기저대역 신호를 중간 주파수 대역으로 up변환하여 신호를 전송하고 중간주파수 대역 신호를 샘플링하여 기저대역 신호로 down 변환하여, 신호를 처리하게 된다. 따라서 FPGA는 각 기능별로 구성되어진 AD 변환부, DA 변환부, Up-Down conversion 기능들에 대한 정의를 수행하게 된다. AD 변환부와 DA 변환부에 입력되어지는 동작 클럭을 외부의 클럭 발생부로도 수행이 가능하지만, 전체 시스템 간의 clock skew를 최소화하기 위하여 FPGA내에서 DCM(Digital Clock Manager)의 여러 출력 포트로 출력되어진 클럭을 AD변환부의 동작 클럭과 DA변환부의 동작 클럭으로 사용 할 수도 있다. DCM은 입력되어진 clock을 기준으로 하여 시스템에서 필요한 새로운 시스템 clock을 생성, 시스템에서 가능 가능한 광범위한 주파수의 Clock을 N 배수 또는 x / N 으로 주파수 clock을 생성하며, 온도와 편류에 대한 위상 변환에 대한 보상을 수행하는 기능을 수행함으로써 clock skew를 최소화 하여, 시스템에 clock을 제공하게 된다. FPGA에 수신되어진 임의의 신호에 대한 정의와 입력되어진 신호에 대한 FIR filter / CIC

filter에 대한 탭 수와 계수 등에 대한 전반적인 수행에 있어 기능구현을 하게 된다. 현재 사용되어지는 FPGA는 Xilinx사의 XC2VP40을 사용하며 시스템에 대한 직접적인 기능을 수행하므로 동작 속도에 있어서 현재 사용 중인 FPGA 종에서 가장 빠른 제품을 사용하고 있다. Gate 용량 역시 각 부분에 대한 기능 구현에 있어서 데이터 구성 용량과 FIR filter, CIC filter 등과 같은 기능 수행을 위한 용량을 감안하여 최소 400만 Gate이상의 제품을 선정하였다.

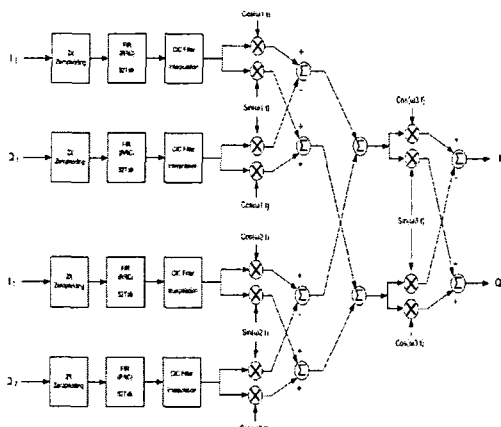


그림 4. Quadrature Modulator Block

그림 4는 Digital IF 탑의 송신단을 보여주고 있으며, 기저대역의 Digital 신호는 interpolation 과정을 통하여 샘플링 주파수를 변화시키고, NCO에 의하여 주파수 이동을 한다. 각각의 I/Q 두 채널은 Mixer를 통하여, 결합되어지는 과정을 보여주고 있다. 일반적으로 NCO와 mixer로 구성되어지는데, 이를 구현하기 위해 많은 수치 연산으로 인한 전력소모와 설계의 복잡성을 가지게 된다. 이러한 문제 해결방안으로 아래와 같은식을 이용하게 된다.

$$f_{IF} = \frac{f_{clock}}{4} \quad (1)$$

f_{clock} 은 DAC 모듈 동작 클럭과 동일하다는 가정을 통하여, NCO의 구성에 대한 출력 값으로 다음과 같은식으로 표현이 가능하다.

$$\begin{aligned} \cos\left(2\pi \frac{f_S}{4} k T_S\right) &= \cos\left(\frac{\pi k}{2}\right) = 1.0, -1.0, \dots \\ \sin\left(2\pi \frac{f_S}{4} k T_S\right) &= \sin\left(\frac{\pi k}{2}\right) = 0.1, 0, -1.0, \dots \end{aligned} \quad (2)$$

위의식을 이용한 NCO의 간략화로 간단한 look-up 테이블을 구성할 수 있으며, 하드웨어의 구현의 효율성을 가지고 디지털 믹서단의 복잡한 연산이 필요 없이 덧셈기로만으로도 구현이 가능하다는

장점을 가지고 있다[4].

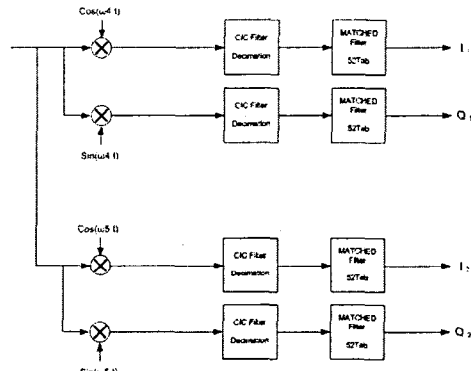


그림 5. I/Q Demodulator Block

그림 5는 Digital IF의 수신단을 보여주고 있으며, IF 신호를 undersampling 기법을 통하여 최적의 ADC 모듈의 동작 클럭을 설정하고, 기저대역과 가장 근접한 IF 신호를 이용하여 NCO와 믹서와 기저대역으로 주파수를 이동한다. 기저대역의 신호를 제외한 나머지 이미지 신호를 제거하기 위하여 LPF를 사용하는데, 이를 decimation을 이용한 Down sampling을 수행하면서 발생할 수 있는 aliasing을 방지할 수 있는 기능을 수행 한다[5].

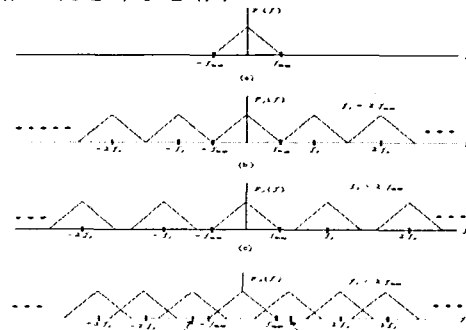


그림 6. Nyquist Sampling spectrum

그림 6에서 (a)의 그림은 연속적인 아날로그 신호의 스펙트럼을 나타내고 있으며, (b)의 그림은 $F_s=2F_{max}$ 에서 샘플된 스펙트럼을 그리고 (c)의 그림은 $F_s > 2F_{max}$ 에서 샘플된 스펙트럼을 나타내고 있으며, (d)는 $F_s < 2F_{max}$ 에서 샘플된 스펙트럼을 나타내고 있다. (d)의 그림은 신호의 교차영역의 발생으로 인한 Aliasing 구간을 나타내고 있다.

III. 실험 및 성능평가

본 논문에서 설계한 보드는 동작 시스템 클럭으로 61.44MHz를 사용하며 IF 주파수로는

30.72MHz 이하인 20MHz를 선정하였으며, 20MHz(5MHz x 4 channel)의 대역을 가지는 네 이터를 전송하게 하였으며, FIR filter와 CIC filter의 tab 계수는 128 tab으로 선정하였다. 그림 7은 비교 군으로 Matlab을 통해 임의로 구성한 5MHz 대역의 single carrier에 대한 파형을 보여주고 있다. 이 신호는 시뮬레이션 상에서 추출한 파형이며, 설계된 보드에서 추출한 파형과 비교하여 성능 평가를 하게된다.

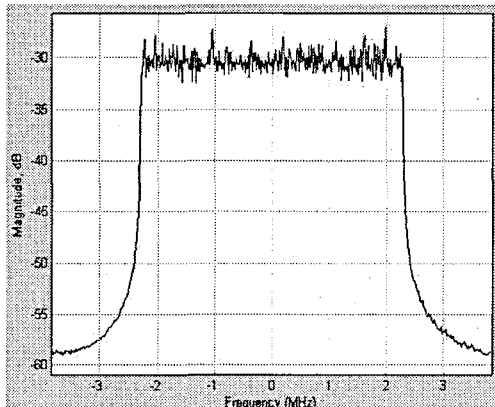


그림 7. Tx Baseband Data (Band = 5MHz)

FIR filter는 컨벌루션의 합의 값으로 구성되어 있으며, 그 식은 다음과 같다.

$$y(k) = \sum_{n=0}^{N-1} a(n)x(k-n) \quad k = 0, 1, \dots \quad (3)$$

여기서, N은 필터 계수의 개수이며, 통상적인 tapped-delay line FIR filter의 내적계산을 구하기 위한 구조는 아래의 그림 8과 같은 구조를 가진다.

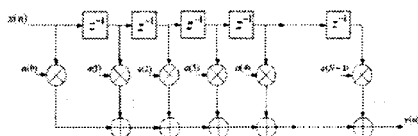


그림 8. Tapped-delay line FIR filter

FIR filter의 tab 계수는 Matlab을 이용하여 사전 시뮬레이션을 거쳐 선정하였고, 시뮬레이션에 대한 결과 파형을 그림 9에서 보여주고 있다.

송신하고자 하는 기저대역 신호는 I/Q 신호로, 아직 펄스 성형 필터를 거치지 않은 상태이며, 일반적으로 모뎀 출력에서 펄스 성형을 하지만 데이터 전송속도를 낮추기 위해서 모뎀에서 각각 필터링을 하지 않는다. 구현하고자 하는 필터는 최소 24 tab에서 최대 255 tab으로 최소 60dB의 차단대역 억제 능력과 0.01dB 이하의 통과대역 리플에 대한 특성을 요구하므로 이러한 특성을

만족하도록 설계한다.

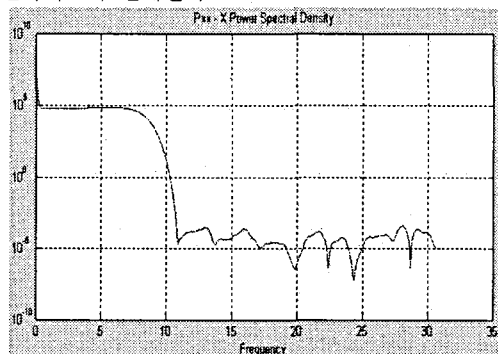


그림 9. FIR filter 출력 스펙트럼

본 논문에서는 송신부에 대해서 Matlab에 의한 FIR filter 시뮬레이션을 진행하여 출력 결과를 예측할 수 있었으며, baseband에서의 I/Q modulation에 대한 출력 데이터를 예측하여 송신되어지는 파형을 추출하였다.

IV. 결 론

본 논문에서 설계된 시스템은 SDR 시스템 구성을 위한 digital IF 기술을 FPGA를 이용하여 설계 및 구현하였다. 송신단의 출력 주파수에서는 기존의 analog IF 시스템의 출력과 비교하여 정밀한 신호 분리와 신호에 대한 잡음이 많이 감소할 것으로 예측된다.

송신단에 대한 설계와 구현에 있어서는 시뮬레이션과 검증을 통하여 확인을 할 수 있으나 수신단에 대한 검증은 이루어지지 않았다. 향후 수신단에 대해서는 수신기에 대한 특성과 DAC에 대한 데이터의 손실 및 복원에 대한 특성을 확인해야 할 것이다.

참고문헌

- [1] 송형훈, 강환민, 김신원, 조성호, "SDR 시스템을 위한 Digital IF 구현," 한양대학교 석사학위 논문, 2002.12.
- [2] Analog Device [On line]. Available : [Http://www.Analog.com](http://www.Analog.com), "AD6645/AD9775"
- [3] Texas Instrument [On line]. Available : [Http://www.Ti.com](http://www.Ti.com), "GC5016"
- [4] 우춘식, "SDR을 위한 Digital IF 설계 및 구현," 한양대학교 석사학위 논문, 2002. 12.
- [5] 홍진섭, "TMS320C6416을 이용한 광 대역 밴드를 가지는 디지털 IF 올림/내림 변환기의 구현," 한양대학교 석사학위 논문, 2003.12.
- [6] 이창희, 이영훈, "FPGA를 이용한 CDMA 디지털 트랜시버의 구현," 한국컴퓨터정보학회논문지, Vol. 7, No. 4, 2002.